

ПОПРАВКА

ПОПРАВКА

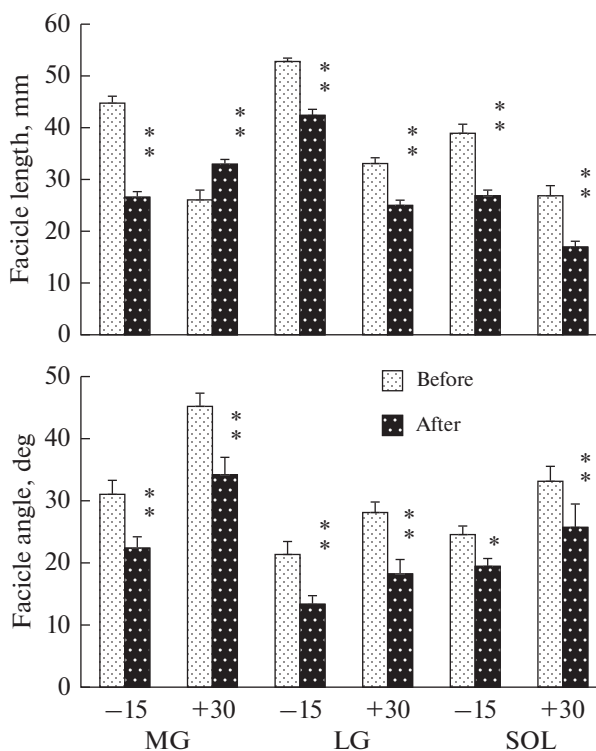
DOI: 10.31857/S0869813920110084

Исправления к статье:

Коряк Ю.А. Влияние реальной микрогравитации на мышечную архитектуру и функцию скелетной мышцы человека. Рос. физиол. журн. им. И.М. Сеченова. 106(9): 1144–1162.

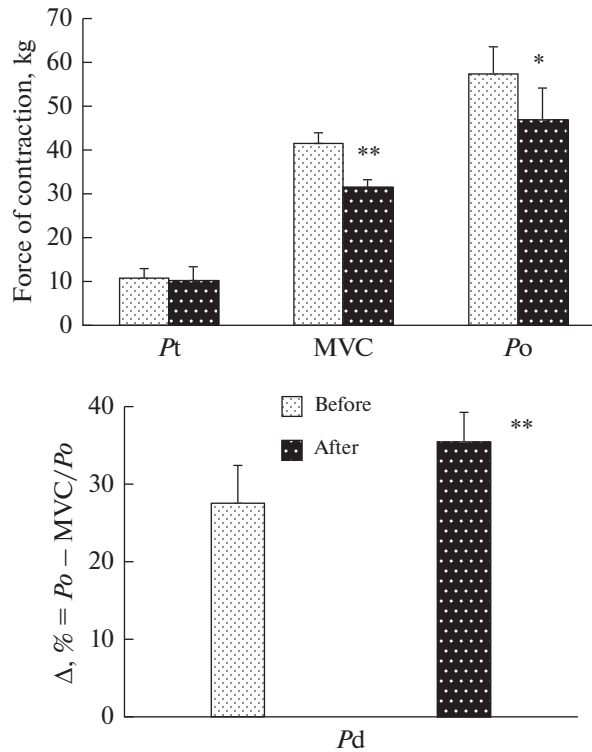
DOI: 10.31857/S0869813920090034

Рисунки 3 и 4 отобразились некорректно. Автор предоставил исправленную версию.



**Рис. 3.** Изменение длины ( $L_f$ ) и угла ( $\Theta_f$ ) наклона волокон МИМ (MG), ЛИМ (LG) и КМ (SOL), как функция угла в голеностопном суставе под влиянием продолжительного космического полета. \*  $p < 0.05$ ; \*\*  $p < 0.01$ .

**Fig. 3.** Changes in the fiber length ( $L_f$ ) and pennation angle ( $\Theta_f$ ) as functions of the ankle joint angle in the MG, LG, and SOL as a result of a long-term SF. MG – medialis gastrocnemius; LG – lateralis gastrocnemius; SOL – soleus \*  $p < 0.05$ ; \*\*  $p < 0.01$ .



**Рис. 4.** Изменение силы одиночного сокращения ( $P_{oc}$ ;  $P_t$ ), максимальной произвольной силы (МПС; MVC), максимальной электрически вызванной тетанической силы сокращения ( $P_o$ ; частота 150 имп/с) (верхняя панель) и силового дефицита ( $P_d$ ) ТМГ (нижняя панель) под влиянием продолжительного космического полета. \*  $p < 0.05$ ; \*\*  $p < 0.01$ .

**Fig. 4.** The effect of a long-duration space flight on the maximal twitch response of force ( $P_t$ ), maximal voluntary contraction (MVC), and evoked electrical tetanic stimulation at a frequency of 150 impulses  $s^{-1}$  ( $P_o$ ) (top panel) and force deficiency ( $P_d$ ) (bottom panel) of the triceps surae muscle. MG – medialis gastrocnemius; LG – lateralis gastrocnemius; SOL – soleus \*  $p < 0.05$ ; \*\*  $p < 0.01$ .